TAPPO DI CHIUSURA TERMORESTRINGENTE
PER TUBO DI PROTEZIONE

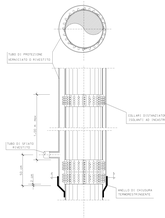


N.B.: Prima dell'installazione dei cavi si deve verificare con gli Enti
Proprietari delle reti interferenti se sono necessarie disferme o
presenza fisica e qualora ne siano si deve.

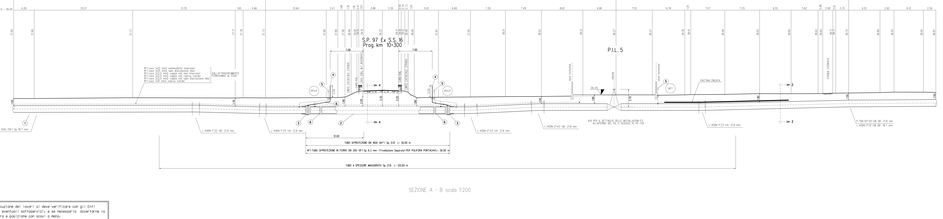


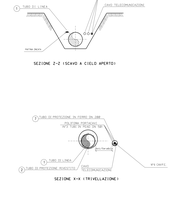


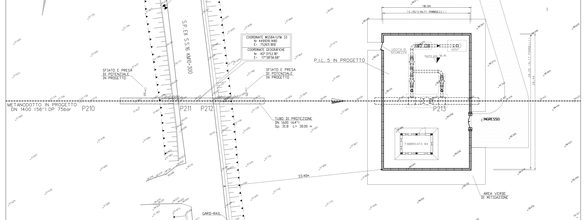


## TABELLA DELLE ANNOTAZIONI

| | | |
|---|---|---|
| 1 | Tubo d'acciaio DN400 (4"ø) 40 DN NOD (90") D=219.40 mm Sp 18.7 mm - costruito secondo lab. DAISO 4 01.01.22 s.a. rivestimento in Polietilene Sp 3.00 mm | |
| 2 | Tubo d'acciaio DN400 (4"ø) 40 DN NOD (90") D=219.40 mm Sp 18.7 mm - costruito secondo lab. DAISO 4 01.01.22 s.a. rivestimento in Polietilene Sp 3.00 mm | 120.00 m |
| 3 | Tubo d'protezione in acciaio Grado CN (4"ø) 40 DN NOD (90") Sp 3.6 mm costruito secondo lab. DAISO 4 01.01.22 s.a. | 30.00 m |
| 4 | Nodo d'chiusura termoretraggente DN NOD (90") x DN NOD (90") costruito secondo lab. DAISO 4 01.01.22 s.a. | n. 2 |
| 5 | Apparecchiatura d'sfiato a press.d'esaplamento tipo per Tp52 costruito secondo lab. DAISO 4 01.01.22 s.a. | n. 2 |
| | Tubo d'sfiato in Fe 22 UNI 7287/74 DN 80 (3") Sp. 3.0 mm costruito secondo lab. DAISO 4 01.01.22 s.a. | 10.00 m |
| 6 | Punto d'indaga P.I.C. a cassetta pietrara secondo DAISO 4 07.01.05 s.a. | n. 2 |
| 7 | Dissuasori lunetti colore con fasaggio ad inserire | |
| | tubo d'sfiato e sporgo DN 80 (3") | |
| | avvit | |
| | tubo d'dren DN NOD (50") | |
| | avvit | n. 10 |
| 8 | Tubo d'protezione in ferro per pallora parracasi | |
| | tubo DN 200 (8") DIAMO S355 Sp 6.3 mm - per trivellazioni | 30.00 m |

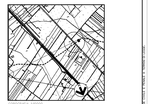


| | | | | | |
|---|---|---|---|---|---|
| 2 | 22/06/22 | ORIGINE PER APPALTO | | | |
| 1 | 16/05/16 | ORIGINE PER COMMENTI | | | |
| REV. | DATA | DESCRIZIONE | DISEGNATO | CONTROLLATO | APPROVATO |

SNAM RETE GAS

techfem

Metanodotto INTERCONNESSIONE TAP
Lt 1400 (56") - DP 75bar
Lt TRONCO LECCE – BRINDISI
ATTRAVERSAMENTO S.P. 97 Km 10+300
Prog.km 10+300

| | |
|---|---|
| COMMESSA | MR/TPM/T |
| CODICE ELABORATO | N.1153 |
| DISEGNO | A7-37A |
| SCALA | 1:200 |
| FOGLIO | 1 |
| DI | 1 |

CUTY_MR2-Gas-ITA-PROFILO_REV2.MR